

## Потенциалы Баргманна. Анализ решения

На прошлом занятии для уравнения КдФ

$$u_t = u_{xxx} + 6uu_x \quad (1)$$

было построено точное решение с  $2n$  произвольными параметрами  $k_j, c_j$ :

$$u = 2\partial_x^2 \log W(y_1, \dots, y_n), \quad y_j = c_j e^{-X_j} - e^{X_j}, \quad X_j = k_j x + 4k_j^3 t, \quad (2)$$

где  $W$  обозначает вронсиан функций  $y_j$  по  $x$ . Напомним схему его вывода. Мы требовали, чтобы линейные уравнения

$$\psi_{xx} = -(u + \lambda)\psi, \quad \psi_t = -u_x\psi - 2(2\lambda - u)\psi_x \quad (3)$$

(их совместность эквивалентна КдФ) имели частное решение вида

$$\varphi(z) = e^{-X}\Phi, \quad \Phi(z) = (2z)^n + \varphi_1(2z)^{n-1} + \dots + \varphi_n, \quad X = zx + 4z^3 t, \quad z^2 = -\lambda. \quad (4)$$

Тогда  $\bar{\varphi} = \varphi(-z)$  также решение и вронсиан  $\varphi, \bar{\varphi}$  является нечётным многочленом от  $z$  с постоянными коэффициентами:

$$w = \varphi\bar{\varphi}_x - \varphi_x\bar{\varphi} = zQ(z^2) = z(z^2 - k_1^2)\dots(z^2 - k_n^2), \quad k_j = \text{const}, \quad j = 1, \dots, n;$$

кроме того, в точках  $z = k_j$  постоянно отношение  $\bar{\varphi}$  и  $\varphi$ :

$$\varphi(-k_j) = c_j\varphi(k_j), \quad c_j = \text{const}, \quad j = 1, \dots, n. \quad (5)$$

Эти соотношения — система линейных алгебраических уравнений относительно  $\varphi_i$ . Потенциал  $u$  определяется по её решению согласно формуле  $u = \varphi_{1,x}$ , которая доказывается подстановкой (4) в (3); это и приводит к формуле (2).

Теперь выясним, при каких  $k_j, c_j$  решение (2) будет вещественным, без особенностей и быстроубывающим (для краткости, будем называть такие решения регулярными).

- В дальнейшем будем считать, что все  $k_j^2$  различны и не равны 0, тогда  $W(y_1, \dots, y_n) \neq 0$  и система (5) невырождена. Также будем считать, не теряя общности, что  $c_j \neq 0$ ,  $c_j \neq \infty$ . Действительно, в этих случаях из (5) следует, что  $\varphi$  делится на  $z + k_j$  или  $z - k_j$ ; на постоянный множитель можно сократить и прийти к случаю с  $n - 1$  вместо  $n$ .
- Пусть для заданного  $u$  есть два решения вида (4):  $\varphi(z) = e^{-X}\Phi$  и  $\tilde{\varphi}(z) = e^{-X}\tilde{\Phi}$ , где  $\Phi$  и  $\tilde{\Phi}$  многочлены по  $z$  (возможно, различной степени). Тогда вронскиан

$$w = \varphi\tilde{\varphi}_x - \varphi_x\tilde{\varphi} = e^{-2zx-8z^3t}(\Phi\tilde{\Phi}_x - \Phi_x\tilde{\Phi}) = \text{const},$$

что возможно, только если  $w = 0$ ; также  $\varphi\tilde{\varphi}_t - \varphi_t\tilde{\varphi} = -2(2\lambda - u)w = 0$ . Значит,  $\Phi$  и  $\tilde{\Phi}$  отличаются лишь постоянным множителем (зависящим от  $z$ ). Иначе говоря, все решения вида (4) получаются из решения минимальной степени умножением на постоянный многочлен от  $z$ . Согласно сказанному выше, этот множитель отбрасывается.

- Пусть функция  $u$  вещественна, покажем, что тогда все коэффициенты  $\varphi_j$  также вещественны. Напомним, что они определяются соотношениями

$$\varphi_{1,x} = u, \quad \varphi_{j+1,x} = \varphi_{j,xx} + u\varphi_j, \quad j = 1, 2, \dots, n-1, \quad \varphi_{n,xx} + u\varphi_n = 0. \quad (6)$$

Допустим, что  $\varphi_j$  имеют ненулевые мнимые части, тогда они удовлетворяют такой же, но более короткой последовательности соотношений, что противоречит минимальности степени многочлена  $\Phi$ .

- Пусть функция  $u$  регулярна, докажем, что тогда параметры вещественны. Из (6) следует, что  $\varphi_j$  не имеют особенностей и растут по  $x$  не быстрее чем многочлены (так как  $\varphi_1$  получается интегрированием  $u$  и далее на каждом шаге происходит еще одно интегрирование). Допустим, что  $k_j = \mu_j + i\nu_j$  и рассмотрим два случая.

1) Если  $\mu_j \neq 0$ , то  $\varphi(k_j)$  равна произведению  $e^{-\mu_j x}$  на функцию, растущую по  $x$  не быстрее, чем многочлен. Следовательно, функция  $\varphi(k_j)$  стремится к 0 на одной из бесконечностей. Но, так как  $\varphi(-k_j) = c_j \varphi(k_j)$ , то она стремится к 0 и на другой бесконечности, то есть,  $\varphi(k_j)$  — собственная функция оператора Шрёдингера  $H = -\partial_x^2 - u$ , а  $\lambda_j = -k_j^2$  — собственное значение. Известно, что собственные числа  $H$  вещественны.

◀ Напомним доказательство: если  $H\psi = \lambda\psi$  и  $\|\psi\|^2 = \int_{\mathbb{R}} \psi\psi^* dx < \infty$ , то

$$\begin{aligned} \lambda\|\psi\|^2 &= \int_{\mathbb{R}} (-\partial_x^2 - u)(\psi)\psi^* dx = [\text{интегрирование по частям}] = \\ &= (\psi\psi_x^* - \psi_x\psi^*) \Big|_{-\infty}^{\infty} + \int_{\mathbb{R}} \psi(-\partial_x^2 - u)(\psi^*) dx = \int_{\mathbb{R}} \psi H(\psi^*) dx = \lambda^* \|\psi\|^2. \quad ▶ \end{aligned}$$

Отсюда следует, что  $\nu_j = 0$ , то есть  $k_j \in \mathbb{R}$ , тогда и  $c_j = \varphi(-k_j)/\varphi(k_j) \in \mathbb{R}$ .

Кроме того, ясно, что  $\lambda_j = -k_j^2$  исчерпывают все собственные значения  $H$  (так как при других  $k$  одно из линейно независимых решений растет на одной бесконечности, второе на другой).

2) Если  $\mu_j = 0$ , то есть  $k_j = i\nu_j$ , это рассуждение не проходит. В этом случае

$$X_j = i(\nu_j x - 4\nu_j^3 t) \quad \text{и} \quad c_j = e^{2X_j} \frac{\Phi(-i\nu_j)}{\Phi(i\nu_j)} = 1/c_j^*.$$

Тогда функцию  $y_j = c_j e^{-X_j} - e^{X_j}$  представляется как  $y_j = \text{const} \cdot \cos(\nu_j x - 4\nu_j^3 t + d_j)$ ,  $d_j \in \mathbb{R}$ . Раскладывая вронскиан  $W$  в (2) по соответствующему столбцу, получаем

$$W = f(x, t) \cos(\nu_j x - 4\nu_j^3 t + d_j) + g(x, t) \sin(\nu_j x - 4\nu_j^3 t + d_j),$$

где  $f$  и  $g$  — некоторые многочлены от экспонент и/или косинусов и синусов с другими фазами. Нетрудно видеть, что такая функция обязательно обращается в 0 при некоторых  $x$ , то есть, решение имеет в этом случае полюсную особенность.

- Итак, мы показали, что  $k_j, c_j \in \mathbb{R}$ , причём  $\lambda_j = -k_j^2$  — все собственные значения оператора Шрёдингера,  $\varphi(k_j)$  — собственные функции. Собственные значения принято нумеровать по возрастанию:

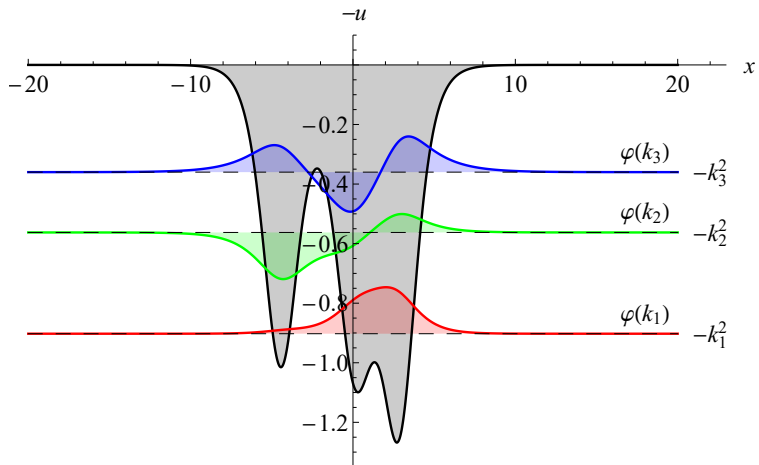
$$\lambda_1 < \dots < \lambda_n < 0.$$

Числа  $k_j$  можно взять положительными, без потери общности, тогда они упорядочены по убыванию:

$$k_1 > \dots > k_n > 0.$$

Функция  $\varphi(z)$  при вещественных  $z > 0$  стремится к 0 при  $x \rightarrow +\infty$ . Воспользуемся следующими общими свойствами оператора Шрёдингера (они верны для любых регулярных потенциалов, а не только для потенциалов Баргманна):

- выше первого собственного числа  $z \geq k_1$  функция  $\varphi(z)$  не имеет нулей на оси  $x$ ;
- при уменьшении  $z$  до 0, нули «заходят» в функцию  $\varphi(z)$  через  $x = -\infty$ , при прохождении  $z$  через  $k_j$ , и движутся слева направо;
- в результате,  $\varphi(z)$  имеет  $j$  нулей при каждом  $z \in [k_{j+1}, k_j]$  ( $n$  при  $z \in [0, k_n]$ );
- при дальнейшем уменьшении  $z$  нули «выходят» через  $x = +\infty$ , когда  $z$  проходит  $-k_j$ .

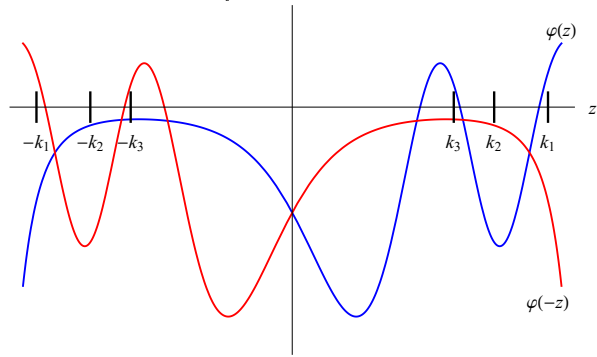


На этом рисунке показаны только собственные функции для некоторого потенциала с тремя собственными значениями  $n = 3$ . Подробнее за движением нулей можно проследить в файле 05\_Bargmann\_psi-function.pdf

Отсюда следует, что при каждом фиксированном  $x$  функция  $\varphi(z)$  имеет ровно  $n$  нулей по  $z$ , то есть, все корни многочлена  $\Phi(z)$  вещественные:

$$\varphi(z) = \text{const} \cdot e^{-zx - 4z^3 t} (z - r_1(x)) \dots (z - r_n(x)).$$

Кроме того, так как нули «заходят» через  $x = -\infty$ , то при  $x \rightarrow -\infty$  они расположены по одному в каждом из интервалов  $(k_{j+1}, k_j)$ ,  $j = 1, \dots, n-1$ . Соответственно, у функции  $\varphi(-z)$  нули противоположны по знаку.



Легко увидеть, что функции  $\varphi(-k_n)$  и  $\varphi(k_n)$  имеют разный знак, а дальше идёт чередование; причём это верно при всех  $x, t$ , так как отношение  $\varphi(-k_j)/\varphi(k_j)$  постоянно, что и записано в (5). Итак, из регулярности  $u$  вытекает следующее правило чередования знаков  $c_j$ :

$$\operatorname{sign} c_n = -1, \quad \operatorname{sign} c_{n-1} = 1, \quad \dots, \quad \operatorname{sign} c_1 = (-1)^n.$$

Отметим, что при изменении  $x$  или  $t$  нули  $r_j$  переходят из одного интервала в другой, но при этом всегда в каждый интервал попадает ровно один нуль функции  $\varphi(z)$  или  $\varphi(-z)$ .

Наоборот, можно доказать, что при таком выборе знаков определитель  $W$  не обращается в ноль (его можно оценить снизу определителем Вандермонда от  $k_j$ ).

Удобно сделать замену  $c_j = (-1)^{n+1-j} e^{-2d_j}$ , занести  $d_j$  в экспоненты и переобозначить  $X_j$  и  $y_j$ . В результате получаем следующее описание  $n$ -солитонных решений.

**Теорема.** Пусть  $k_1 > \dots > k_n > 0$ , параметры  $d_j$  произвольные вещественные числа,

$$y_j = e^{X_j} + (-1)^{n-j} e^{-X_j}, \quad X_j = k_j x + 4k_j^3 t + d_j,$$

тогда функция  $u = 2\partial_x^2 \log W(y_1, \dots, y_n)$  является регулярным решением КдФ. Наоборот, если решение (2) регулярно, то оно приводится к указанному виду с точностью до перенумерации и смены знаков  $k_j$ .

Итак, вронскиан составляется по такому правилу: положительные числа  $k_j$  упорядочиваются по убыванию, минимальному числу  $k_n$  отвечает функция  $y_n = \cosh X_n$ , числу  $k_{n-1}$  функция  $y_{n-1} = \sinh X_{n-1}$  и так далее по очереди. С точностью до числового множителя, который совершенно не важен, имеем

$$W = W\left(\cosh X_n, \sinh X_{n-1}, \dots, \frac{\sinh X_1}{\cosh X_1}\right) \quad \begin{array}{l} \text{при чётном } n, \\ \text{при нечётном } n. \end{array}$$

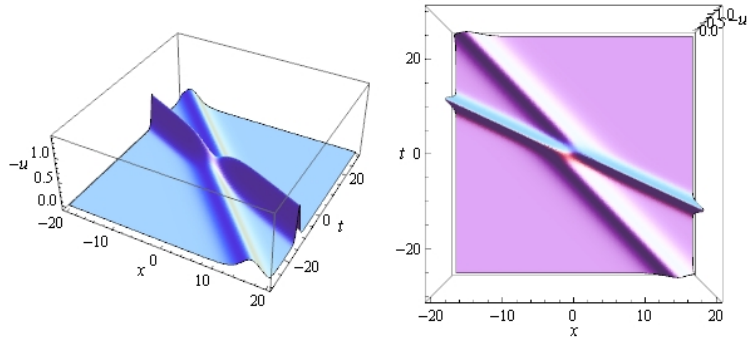
## Фазовый сдвиг при взаимодействии солитонов

При  $n = 1$  формула (2) даёт солитон КдФ

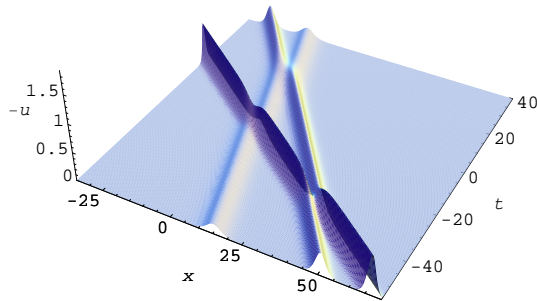
$$u = \frac{2k^2}{\cosh^2 X}, \quad X = kx + 4k^3t + d.$$

Двух-солитонное решение описывается формулой

$$u = \frac{2(k_1^2 - k_2^2)(k_1^2 - k_2^2 + k_2^2 \cosh 2X_1 + k_1^2 \cosh 2X_2)}{(k_1 \cosh X_1 \cosh X_2 - k_2 \sinh X_1 \sinh X_2)^2}, \quad k_1 > k_2 > 0.$$



Можно видеть, что после прохождения друг через друга солитоны восстанавливают форму, подобно решениям линейного волнового уравнения. Однако, кое-что во взаимодействии солитонов происходит не так, как подсказывает линейная интуиция.



Во-первых, в момент столкновения амплитуды солитонов не складываются, как в линейном случае, а скорее усредняются. При всех  $x, t$  верна оценка

$$0 < u(x, t) < 2k_1^2,$$

то есть, решения не превосходит амплитуды самого большого солитона. Это можно доказать для произвольного  $n$ , используя формулу (легко выводится из (3))

$$u = 2 \sum_{j=1}^n (k_j^2 - r_j^2),$$

где  $r_j$  — нули многочлена  $\Phi(z)$ ; как было отмечено, в каждом из интервалов  $[k_{j+1}^2, k_j^2]$  содержится одно из значений  $r_s^2$ .

Во-вторых, после взаимодействия траектории солитонов слегка смешаются, происходит так называемый *фазовый сдвиг* (хорошо заметно при виде сверху). Вычислим его для  $n = 2$ . Имеем:

$$W = 4 \begin{vmatrix} \cosh X_2 & \sinh X_1 \\ k_2 \sinh X_2 & k_1 \cosh X_1 \end{vmatrix} = (k_1 - k_2)(e^{X_1 + X_2} + e^{-X_1 - X_2}) + (k_1 + k_2)(e^{X_2 - X_1} + e^{X_1 - X_2}).$$

В окрестности прямой  $X_1 = k_1 x + 4k_1^2 t + d_1 = 0$  имеем оценки (помним, что  $k_1 > k_2 > 0$ , эквивалентность  $\sim$  понимается с точностью до множителя):

$$e^{X_1} \sim 1, \quad e^{X_2} \sim e^{4k_2(k_2^2 - k_1^2)t} = \begin{cases} \infty & \text{при } t \rightarrow -\infty, \\ 0 & \text{при } t \rightarrow +\infty. \end{cases}$$

Отбрасывая убывающие экспоненты, имеем

$$\begin{aligned} \text{при } t \rightarrow -\infty : \quad W &\sim (k_1 - k_2)e^{X_1 + X_2} + (k_1 + k_2)e^{X_2 - X_1} \\ &\sim e^{X_2} \left( e^{X_1} + \frac{k_1 + k_2}{k_1 - k_2} e^{-X_1} \right) \sim e^{X_2} \cosh(X_1 - \delta_{12}), \end{aligned}$$

$$\begin{aligned} \text{при } t \rightarrow +\infty : \quad W &\sim (k_1 - k_2)e^{-X_1 - X_2} + (k_1 + k_2)e^{X_1 - X_2} \\ &\sim e^{-X_2} \left( e^{X_1} + \frac{k_1 - k_2}{k_1 + k_2} e^{-X_1} \right) \sim e^{-X_2} \cosh(X_1 + \delta_{12}), \end{aligned}$$

где

$$\delta_{12} = \frac{1}{2} \log \frac{k_1 + k_2}{k_1 - k_2}.$$

Точно так же, рассматривая решение в окрестности прямой  $X_2 = 0$  можно получить сдвиг фазы второго солитона  $\delta_{21} = -\delta_{12}$ .

При  $t = -\infty$  большой солитон движется чуть позади прямой  $X_1 = 0$  (на расстоянии  $\delta_{12}/k_1$  по оси  $x$ ), а малый солитон впереди прямой  $X_2 = 0$  (на расстоянии  $\delta_{12}/k_2$ ); при  $t = +\infty$  солитоны движутся на тех же расстояниях от соответствующих прямых, но с другой стороны — большой впереди, малый позади.

Аналогично можно найти фазовые сдвиги и в общем случае, рассматривая решение в полосе вдоль прямой  $X_j = 0$ . Мы приведем только ответ, без доказательства. Пусть

$$\delta_{ij} = -\delta_{ji} = \frac{1}{2} \log \frac{k_i + k_j}{k_i - k_j}, \quad i < j.$$

**Теорема.** Асимптотически,  $n$ -солитонное решение представляет собой сумму солитонов

$$u = \sum_{j=1}^n \frac{2k_j^2}{\cosh^2(k_j x + 4k_j^3 t + d_j \pm \delta_j)}, \quad t \rightarrow \pm\infty,$$

где фазовый сдвиг равен

$$\delta_j = \sum_{i \neq j} \delta_{ji} = -\frac{1}{2} \sum_{i < j} \log \frac{k_i + k_j}{k_i - k_j} + \frac{1}{2} \sum_{i > j} \log \frac{k_i + k_j}{k_j - k_i}.$$

Итак, при  $t \rightarrow -\infty$ , решение представляет собой сумму солитонов, упорядоченных слева направо по возрастанию амплитуды и путешествующих со скоростями пропорциональными амплитуде. После взаимодействия порядок солитонов меняется и при  $t \rightarrow +\infty$  солитоны располагаются в обратном порядке. При этом они восстанавливают форму и единственным результатом взаимодействия является фазовый сдвиг. Общий сдвиг  $\delta_j$ , который испытывает один солитон, равен сумме сдвигов  $\delta_{ji}$  при попарном взаимодействии. Эффекты от тройного взаимодействия отсутствуют.